

## مساهمة في دراسة تحليلية لعموم الإقلاع في طاحونة هوائية (داريوس) ذات ريش مستقيمة شاقولية وإنجاز نموذج جديد مصغر عنها.

الدكتور كميل بوراس\*

(تاريخ الإيداع 30 / 8 / 2009. قُبل للنشر في 16/12/2009)

### □ ملخص □

إن الغرض من هذه الدراسة إيجاد معادلة رياضية تحوي متحولات (إيروديناميكية) لطاحونة هوائية من نوع (داريوس) وإنجاز نموذج مصغر يسمح لنا بإجراء تجارب للحصول على نتائج مطابقة لجميع المتحولات (الإيروديناميكية) التي تخدم عمل طاحونة داريوس.

الكلمات المفتاحية : طاحونة داريوس الهوائية – ريشتان شاقوليتان.

---

\* أستاذ مساعد- كلية الهندسة المدنية - جامعة تشرين - اللاذقية - سورية.

## **Contribution d'étude d'une éolienne Darrieus à pales droites , analyse du couple de démarrage et réalisation d' un prototype**

**Dr. Camille Bouras \***

**(Déposé le 30 / 8 / 2009 . Accepté 16/12/2009)**

### **□ Résumé □**

L'objet de cette étude est d'établir un modèle mathématique du comportement aérodynamique d'une éolienne de type Darrieus et de réaliser un prototype permettant de faire varier les paramètres de fonctionnement en vue de son optimisation.

**Mots-clés: éolienne Darrieus- deux pales.**

---

\*Maître de conférences- faculté de génie civil -Département de Hydraulique – Université Tichrine – Lattaquié- Syrie

**مقدمة:**

إن الجريانات التي تعبر الطاحونة الهوائية نوع (داريوس) العامودية (شكل 1) تعتبر معقدة بسبب الحالات غير المستقرة للجريان، وكذلك نتيجة تداخل الجريانات بين الشفرات العامودية. إذن من الصعب الحصول على النموذج بواسطة الحساب الرياضي فقط، بل يجب أن يترافق مع دراسة تجريبية لمختلف المتحولات السابقة التي تدخل في الحساب الرياضي، ويكون لها تأثير على عمل الطاحونة. لذلك يجب الحصول على معادلة رياضية بسيطة وسهلة الحل ومطابقة للتجارب التي ندرسها.

**أهمية البحث وأهدافه:****الموديل الرياضي المستخدم لأجل الجريانات العامة:**

عندما يجتاز الجريان الطاحونة الهوائية من الوجه الأمامي إلى الوجه الخلفي يحصل تباطؤ في سرعة جريان الهواء القادم من بعيد، بحيث نعتبر هذه السرعة منتظمة وتساوي  $V_\infty$  وهذه التيارات الهوائية سوف تصطدم مع الريش عند دخولها الطاحونة بزاوية  $\theta^\circ$ ، وتخرج من الجهة الخلفية بزاوية مقدارها  $\theta_1$ ، وسوف نعتبر أن السرعة عند مدخل الطاحونة، وعند المنطقة  $u$  مساوية إلى  $V_u$  وكذلك السرعة عند مخرج الطاحونة، وعند النقطة  $d$  على نفس خط التيار الهوائي هي  $V_d$ . وسوف نفترض أن جميع هذه السرعات  $V_\infty$  وكذلك  $V_u$  و  $V_d$  متوازية فيما بينها. وهذه الفرضية تم التحقق منها، ومن مدى صلاحيتها في الحساب، مع نتائج تجريبية سابقة، وكذلك مع نتائج رياضية استخدمت فيها طريقة الجريانات المعقدة باستخدام المعادلات العقدية المرجع [2] مع ملاحظة أن هذه الفرضية لا تعتبر صالحة عند النقاط الواقعة على خط تيار هوائي  $90^\circ +$  و  $90^\circ -$  والسبب في ذلك يعود إلى تأثير الشفرات على الجريان الهوائي، بحيث يشكل انقطاعاً للضغط، و تصل قيمة الضغط عند الدخول إلى  $+P$  وبشكل مشابه تصل قيمة الضغط المقاس عند المخرج إلى قيمة معادلة إلى  $-p$ . بهذه الطريقة يمكن أن يحصل لدينا تغير في اتجاه الضغط في النقاط المدروسة سابقاً ( $d, u$ ) بحيث تصبح على النحو التالي ( $Pa+, Pa-, Pd+, Pd-$ ) وسوف نرمز للضغط الجوي ( $P_o$ ) وبين النقطتين ( $u, d$ ) من خط التيار، هناك نقطة تسمى ( $a$ ) نفترض أن السرعة هي  $V_a$  وموازية لجميع اتجاهات السرعة الفروضة  $V_u, V_d, V_\infty$  ومن خلال هذه الدراسة، سوف نرمز للسرعة عند مخرج الطاحونة بـ  $V_w$  (الشكل (2)).

**طرائق البحث ومواده:****الحسابات الإيراد ديناميكية**

لإيجاد المعادلة الرياضية الخاصة بعزم الإقلاع لهذا النوع من الطواحين الهوائية العامودية (داريوس) نطبق معادلة برنولي بين المقطع الأمامي البعيد عن الطاحونة، حيث سرعة الهواء فيه  $V_\infty$  وبين مقطع آخر عند مدخل الطاحونة الهوائية، وهو الواقع على محيط الأسطوانة المشكلة والناجمة عن دوران الريش العامودية، بحيث رمزنا للنقطة ( $u$ ) والسرعة هنا ( $V_u$ )

$$P_a + \frac{1}{2} \rho V_\infty^2 = P_u + \frac{1}{2} \rho V_u^2 \quad (1)$$

وكذلك بين النقطة  $u$  والنقطة  $a$

$$P_{u-} + \frac{1}{2} \rho V_u^2 = P_{a+} + \frac{1}{2} \rho V_a^2 \quad (2)$$

وكذلك في النقطة  $a$  النقطة  $(d)$ .

$$P_a + \frac{1}{2} \rho V_a^2 = P_{d+} + \frac{1}{2} \rho V_d^2 \quad (3)$$

وبشكل عام المعادلة الثانية والثالثة تكتب على النحو التالي:

$$P_{u-} + \frac{1}{2} \rho V_u^2 = P_a + \frac{1}{2} \rho V_a^2 = P_{d+} + \frac{1}{2} \rho V_d^2 \quad (4)$$

أما تطبيق بيرنولي بين نقطة الخروج  $d$  ونقطة بعيدة عن المخرج ذات السرعة  $V_w$  تكتب على النحو التالي:

$$P_{d-} + \frac{1}{2} \rho V_d^2 = P_a + \frac{1}{2} \rho V_w^2 \quad (5)$$

ومن جهة أخرى يمكننا حساب القوة المطبقة على الريشة بطريقة القوة المطبقة على شريحة من الريشة مساحتها

$d(A_u)$  من الجهة الأمامية، وذلك عند النقطة  $u$  بحيث تصبح:

$$d(F_u) = (p_{u+} - p_{u-}) d(A_u) \quad (6)$$

بالاستفادة من المعادلة (7) و (4) نحصل على:

$$dF(u) = \frac{1}{2} \rho (V_\infty^2 - V_a^2) d(A_u) \quad (7)$$

وبطريقة مشابهة تماماً للحسابات السابقة، المطبقة على الريشة عند المدخل، يمكننا إجراء الحساب والوصول

إلى نتيجة مشابهة على النحو التالي:

$$d(F_d) = (P_{d+} - P_{d-}) d(A_d) = \frac{1}{2} \rho (V_a^2 - V_\infty^2) d(A_d)$$

حيث  $d(A_d)$  هي مساحة جزئية من الريشة، ومن الجهة الخلفية (عند الخرج) وهاتان القوتان  $d(F_d)$  و  $d(F_u)$

لهما تأثير مرتبط بسرعة الهواء البعيد قبل الوصول إلى الطاحونة من الجهة الأمامية  $(V_\infty)$ .

وبطريقة أخرى وباستخدام معادلة أولر، يمكننا حساب القوى السابقة أي:

$$d(F_u) = q_m (V_\infty - V_a) \quad (9)$$

وذلك بفرض أنه لا يوجد تغير في قيمة الضغط.

$q_m$ : تسمى الغزارة الكتلية وتكتب:

$$q_m = \rho V_u d(A_u)$$

وبالتعويض:

$$d(F_u) = \rho V_u (V_\infty - V_a) d(A_u) \quad (10)$$

ویمساواة (7) و (9) نحصل:

$$V_u = \frac{V_\infty + V_a}{2} \quad (11)$$

ومن المعادلتين (8) و (10) نحصل على السرعة  $(V_d)$ .

$$V_d = \frac{V_a + V_w}{2} \quad (12)$$

ومن المعادلتين (11) و (12) نحصل على:

$$V_a = 2V_u - V_\infty \quad (13)$$

$$V_w = 2V_d - V_a \quad (14)$$

ومن المعادلتين (13) (14) نحصل على:

$$(V_u - V_d) = \frac{V_\infty - V_w}{2} \quad (15)$$

المعادلة (15) الأخيرة توضح أنّ نصف الفرق بين السرعة الأمامية البعيدة عن المدخل ( $V_\infty$ ) والسرعة الخلفية البعيدة عن الخروج هي  $V_w$ .  
تساوي إلى الفرق بين سرعة الدخول ( $V_u$ ) وسرعة الخروج ( $V_d$ ) من الطاحونة الهوائية العامودية.

حساب مثلثات السرعة عند المدخل ( $u$ ):

عند دخول التيار الهوائي ذي السرعة  $V_\infty$  إلى الريش أي (الدوار الهوائي) سوف يتعرض إلى سرعة إضافية مركبة من سرعة دوران الريش والتي تساوي  $U = WR$  حيث  $W$  السرعة الدورانية و  $R$  هو نصف قطر الدوار، السرعة  $W_u$  السرعة النسبية للجريان الهوائي.

من الشكل (3) إذا:

$$\vec{V}_u = \vec{U} + \vec{W}_u \quad (16)$$

إذن القوة  $d(F_u)$  مركبة من قوة مماسية مؤثرة وفق المحور ( $t$ ) ومن قوة أخرى مؤثرة وفق المحور ( $n$ ) الناظمي الشكل (3).

وهذه القوة  $d(F_u)$  لها مركبتان:

(1)  $d(T_u)$  مركبة القوة وفق المحور ( $t$ ) وتسمى قوة مماسية.

(2)  $d(N_u)$  مركبة القوة وفق المحور ( $n$ ) وتسمى قوة ناظمية، أما المركبة المماسية  $d(T_u)$  فهي الأساس في

حساب عزم الإقلاع للمحرك من الشكل (3) ومن مخطط مثلثات السرعة نكتب:

$$d(F_u) = d(N_u) \cos \theta - d(T_u) \sin \theta \quad (17)$$

كما نلاحظ بأن هناك زاوية مقدارها ( $\alpha_u$ ) عند الدخول، وهي التي تمثل ميل القوة  $d(F_u)$  عن وتر الشفرة الشكل (3) هذه الزاوية سوف تعمل على تحليل القوة إلى مركبتين أيضاً، الأولى مركبة قوة الرفع  $d(L_u)$  وهي ناظمية على وتر الشفرة، والثانية مركبة قوة الجر  $d(D_u)$  وهي موازية لوتر الشفرة، وبشكل آخر يمكننا القول بأن المركبة  $d(L_u)$  والمركبة  $d(D_u)$  تكونان على التوالي عامودية وموازية لمركبة السرعة النسبية ( $W_u$ ) الشكل (3) وبإجراء الإسقاط للمركبة  $d(T_u)$  والمركبة  $d(N_u)$  على المحاور ( $t$ ) و ( $n$ ) نحصل على التوالي:

$$d(T_u) = d(L_n) \sin \alpha_n - d(D_m) \cos \alpha_u \quad (18)$$

$$d(N_u) = d(L_u) \cos \alpha_u + d(D_m) \sin \alpha_u \quad (19)$$

بإدخال عامل الرفع ( $C_{Lu}$ ) وعامل الجر ( $C_{Du}$ ) وباستخدام المعادلات العامة نحصل على:

$$d(L_u) = \frac{1}{2} \rho W_u^2 \cdot C \cdot H \cdot C_{Lu}$$

$$C_{Lu} = \frac{d(L_u)}{\frac{1}{2} \rho W_u^2 \cdot C \cdot H} \quad (20)$$

$C_{Lu}$  عامل الرفع و  $C$  طول وتر الشفرة،  $H$  ارتفاع الشفرة  
 $W_u$  السرعة النسبية المستخدمة في الحل (مثلث السرعة).

وبنفس الطريقة يمكن حساب عامل الجر  $C_{Du}$ .

$$C_{Du} = \frac{d(D_u)}{\frac{1}{2} \rho W_u^2 \cdot C \cdot H} \quad (21)$$

حيث  $C \cdot H$  هي مساحة سطح الشفرة.

ومن المعادلات (18) و (19) نحصل على ما يلي:

$$C_{(Tu)} = C_{Lu} \sin \alpha_u - C_{Du} \cos \alpha_u \quad (22)$$

$$C_{Nu} = C_{(Lu)} \cos \alpha_u + C_{Du} \sin \alpha_u \quad (23)$$

أيضاً:

$$d(T_u) = C_{(Tu)} \cdot \frac{\rho}{2} W_u^2 \cdot C \cdot H \quad (24)$$

$$d(N_u) = C_{(Nu)} \cdot \frac{\rho}{2} W_u^2 \cdot C \cdot H \quad (25)$$

إذن المعادلة (17) ومن أجل وحدة الارتفاع ( $H = 1m$ ) تصبح:

$$d(F_u) = \frac{1}{2} \rho W_u^2 \cdot C (C_{Nu} \cos \theta - C_{(Tu)} \sin \theta) \quad (26)$$

ويمكننا حساب قيمة  $C$  وتر الشفرة:

$$C = \frac{2\pi R}{N} \Rightarrow 2\pi = \frac{C \cdot N}{R}$$

لذلك نفترض وجود عدد كبير جداً من الريش ذات أوتار ضعيفة وصغيرة، بحيث تصبح القيمة  $C \cdot N$  محدودة.

ومن جهة أخرى يمكننا حساب  $C \cdot \cos \theta = d(A_u)$

$$d(A_u) = C \cdot \cos \theta \Rightarrow C = \frac{d(A_u)}{\cos \theta}$$

بحيث تصبح قيمة  $d(F_u)$  على الشكل التالي:

$$d(F_u) = \frac{1}{2} \rho W_u^2 \cdot \frac{d(A_u)}{\cos \theta} (C_{Nu} \cos \theta - C_{(Tu)} \sin \theta) \quad (27)$$

سوف نرمز للقيمة  $\frac{C \cdot N}{R}$  بـ  $\sigma$  وهي قيمة دون واحدات، وكنا سابقاً كتبنا:

$$2\pi = \sigma \Leftrightarrow 2\pi = \frac{C \cdot N}{R} = \sigma$$

وقمنا  $\sigma = 2\pi$  على  $2\pi$  نحصل على  $1 = \frac{\sigma}{2\pi}$  وبإضافة  $\frac{\sigma}{2\pi}$  إلى المعادلة (27) تصبح على الشكل التالي:

$$d(F_u) = \frac{1}{2} S \frac{\sigma}{2\pi} W_u^2 \frac{d(A_u)}{\cos \theta} (C_{Na} \cos \theta - C_{Tu} \sin \theta) \quad (28)$$

بمقارنة العلاقات (7) و (28) وبعد الأخذ بعين الاعتبار المعادلة (13) والحل نحصل على:

$$V_u (V_\infty - V_u) = \frac{\sigma}{8\pi} W_u^2 (C_{Nu} - C_{Tu} \operatorname{tg} \theta) \quad (29)$$

بتحويلها إلى معادلة دون أبعاد، نقسم على  $V_\infty$  ونحصل:

$$\frac{V_u}{V_\infty} \left(1 - \frac{V_u}{V_\infty}\right) = \frac{\sigma}{2\pi} \left(\frac{W_u}{V_\infty}\right)^2 (C_{Nu} - C_{Tu} \operatorname{tg} \theta) \quad (30)$$

لأجل الوصول إلى معادلة السرعة ( $V_u$ ) المتعلقة بمتحول واحد هو  $\theta^\circ$  يجب حساب  $W_u$  كتابع مع الزاوية

$\theta^\circ$  فنحصل على ذلك من مثلث السرعة السابق بحيث تصبح:

$$\frac{W_u}{V_\infty} \sin \alpha_u = \frac{V_u}{V_\infty} \cos \theta \quad (31)$$

$$\frac{W_u}{V_\infty} \cos \alpha_u = \frac{WR}{V_\infty} + \frac{V_u}{V_\infty} \sin \theta = \lambda + \frac{V_u}{V_\infty} \sin \theta \quad (32)$$

بحيث نسمي النسبة بعامل السرعة:

$$\lambda = \frac{W.R}{V_\infty}$$

$\lambda$  عامل السرعة

وهذا العامل له دور كبير في حسابات الطواحين الهوائية وخاصة في حساب المردود بشكل خاص.

فالمعادلات (31) و (32) هي التي تسمح بحساب النسبة  $\frac{W_u}{V_\infty}$  كتابع للمتحويلات التالية  $\lambda, \theta, \frac{V_u}{V_\infty}$ .

من أجل تيارات هوائية متناظرة بالنسبة للشفرة، وعند مدخل الطاحونة الهوائية فإن زاوية التصادم ( $\alpha_u$ ) لا

تتجاوز  $18^\circ$ .

في هذه الحالة عامل الرفع ( $C_{Lu}$ ) يمكن كتابته على الشكل التالي:

$$C_{Lu} = 2\pi \sin \alpha_u$$

وهذه المعادلة تطبق من أجل زاوية  $18^\circ > \alpha_u$

إن عامل الجر ( $C_{Du}$ ) يبقى ضعيفاً وصغيراً مقارنةً مع عامل الرفع ( $C_{Lu}$ ) ويمكن بشكل أولي وتقريبي أن

نعتبر بأنهما لا يتعلقان بزاوية التصادم ( $\alpha_u$ ) لذلك نكتب:

$$C_{Du} = C_D = \text{ثابت} = \text{cost}$$

وعلينا أن نأخذ بعين الاعتبار أن  $\alpha_u$  صغيرة وهذا يعني بأننا نستطيع تعويض  $\cos \alpha_u = 1$

فالمعادلة (22) والمعادلة (23) تصبحان على النحو التالي:

$$C_{Tu} = 2\pi \sin^2 \alpha_u - C_D \quad (33)$$

$$C_{Na} = 2\pi \sin \alpha_u \cos \alpha_u \quad (34)$$

كما يمكن تحديد الزاوية  $\alpha_u$  من المعادلة (31) ونحصل عليها بدلالة  $\theta^\circ$  وقيمة  $\frac{W_u}{V_\infty}$  وبحسب المعادلة (32)

نجد بأنها تتعلق بـ  $(\lambda, \theta, \frac{V_u}{V_\infty})$  فالمعادلة (30) تتحول إلى معادلة من الدرجة الثانية (لسهولة الحل نعتبر النسبة

$$X = \frac{V_u}{V_\infty} \text{ وتكتب:}$$

$$AX^2 + B X + C = 0 \quad (35)$$

حيث:

$$A = \frac{1 + \frac{\sigma C_D}{4\pi} \operatorname{tg} \theta}{\operatorname{tog} \theta} \quad (36)$$

$$B = \frac{\frac{\sigma \lambda}{4} \cos \theta + \frac{\sigma \lambda C_D}{4\pi} \operatorname{tg} \theta \sin \theta - 1}{\operatorname{tog} \theta} \quad (37)$$

$$C = \frac{\sigma C_D \lambda^2}{8\pi} \quad (38)$$

وبإجراء رسم المتغيرات  $\frac{V_u}{V_\infty}$  ،  $\alpha_u$  بدلالة  $\theta^\circ$  (المتحولة من  $0^\circ - 180^\circ$ ) وكذلك يتم رسم المتغيرات مع باقي

المتحولات  $\sigma$  ،  $\lambda$  ،  $C_D$  ولأجل تبسيط الحل نعتبر وجود حالة خاصة.

**حالة خاصة:**

المائع المستخدم هو مائع مثالي، بموجب ذلك تصبح قيمة  $C_D = 0$  وبتعويضها في المعادلات السابقة نحصل

على:

$$A = \frac{1}{\operatorname{tg} \theta}, \quad B = \frac{\left(\frac{\sigma \lambda}{4} \cos \theta - 1\right)}{\operatorname{tog} \theta}, \quad C = 0$$

المعادلة الخاصة بالمتحول  $\left(\frac{V_u}{V_\infty}\right)$  تصبح:

$$AX^2 + B X + C = 0$$

$$\frac{X^2}{\operatorname{tg} \theta} + \frac{X}{\operatorname{tog} \theta} \left(\frac{\sigma \lambda}{4} \cos \theta - 1\right) = 0$$

ويحل المعادلة نحصل على قيمة:

$$\frac{(V_u)_m}{V_\infty} = 1 - \frac{\sigma \lambda}{4} \cos \theta \quad (39)$$

هنا رمزنا للسرعة  $V_u$  بالرمز  $m(V_u)$  لأننا فرضنا أن المائع المستخدم مثالي، الشكل (4) المرفق يوضح تغيرات

المتحول  $\left(\frac{V_u}{V_\infty}\right)$  مع  $\theta^\circ$  من أجل قيم خاصة لكل من  $\lambda$  و  $\sigma$  ، ونحن نعلم بأن  $m(V_u)$  تابع إلى مجموعة متحولات

$(C_D, \theta, \lambda, \sigma)$  كما نلاحظ من هذه المخططات أن المتغيرات تعطي نتائج جيدة في جميع قيم الزوايا عدى عند القيم  $+90^\circ$  و  $-90^\circ$  (لقد سبق وأن اعتبرنا هذه النقاط بالنقاط الشاذة للحل).

وكذلك تم رسم تغيرات  $\alpha_n$  مع الزاوية  $\theta^\circ$  من أجل قيم خاصة لكل  $(C_D, \lambda, \sigma)$  كما هو واضح على الشكل

(5).

مثلت السرعة في الجهة الخلفية (عند المقطع  $d$ ):

الدراسات السابقة كانت عند مقطع الدخول  $u$  حيث كانت زاوية الدخول  $\alpha_u$  والسرعة  $V_u$  والزاوية  $\theta$  هي زاوية ميل الشفرة وعلى اتجاه المائع، أما هنا، فسنعمل بطريقة مشابهة تماماً بحيث تكون زاوية اميل  $\theta_1$  بدلاً من  $\theta$ ، السرعة  $V_d$  بدلاً من  $V_u$  وكذلك  $\alpha_d$  بدلاً من  $\alpha_u$  السرعة  $W_u$  بـ  $W_d$  بإجراء الحلول حصلنا على النتائج التالية:

$$\frac{V_d}{V_a} \left(1 - \frac{V_d}{V_a}\right) = \frac{\sigma}{8\pi} \left(\frac{W_d}{V_a}\right)^2 (C_{Nd} - C_{Td} \text{ tog } \theta_1) \quad (40)$$

$$\frac{V_d}{V_a} \cdot \frac{V_\infty}{V_a} \left(1 - \frac{V_d}{V_\infty} \cdot \frac{V_\infty}{V_a}\right) = \frac{\sigma}{8\pi} \left(\frac{W_d V_\infty}{V_\infty V_a}\right)^2 (C_{Nd} - C_{Td} \text{ tog } \theta_1) \quad (41)$$

اعتماداً على المعادلة (9)

$$\frac{V_a}{V_\infty} = 2 \frac{V_u}{V_\infty} - 1 \quad (42)$$

ولسهولة الحل نعتبر أن النسبة  $\frac{V_d}{V_\infty}$  هي  $Y$

وبطريقة مشابهة للحل السابق، نحصل:

$$A_1 y^2 + B_1 y + C = 0 \quad (43)$$

$$A_1 = \frac{1 + \frac{\sigma C_D}{8\pi} \text{ tog } \theta_1}{\text{ tog } \theta_1}$$

$$B_1 = \frac{\frac{\sigma \lambda}{4} \cos \theta_1 + \frac{\sigma \lambda C_D}{4\pi} \text{ tog } \theta_1 \sin \theta_1 - 1 + 2(1 - \lambda \sigma \cos \theta_1)}{\text{ tog } \theta_1} \quad (44)$$

$$C_1 = \frac{\sigma C_D \text{ tog } \theta_1}{8\pi} \quad (45)$$

الأشكال (6-7) تظهر تغيرات  $\frac{V_d}{V_\infty}$  و  $\alpha_d$  مع الزاوية  $\theta_1$  المتحولة  $+90^\circ \Leftrightarrow -90^\circ$  بدلالة المتحولات التالية

$(C_D, \lambda, \sigma)$  ولأجل الحصول على نتائج متماثلة مع الحلول السابقة في مقطع الدخول، لذلك يجب أن نفرض هنا  $C_D = 0$  بذلك نحصل على:

$$\frac{V_{(d)m}}{V_\infty} = 1 - \frac{3\sigma \lambda}{4} \text{ tog } \theta_1 \quad (46)$$

لأجل المحافظة على قيمة موجبة للسرعة ( $V_d$ ) عند مخرج الطاحونة، يجب أن نحقق الشروط التالية:

$$\frac{V_{(d)m}}{V_\infty} \geq 0 \quad \text{أو} \quad 1 - \frac{3\sigma}{4} \lambda \cos \theta_1 \geq 0$$

أي:

$$1 > \frac{3}{4} \sigma \lambda \cos \theta_1 \Rightarrow \frac{4}{3} > \sigma \lambda \cos \theta_1 \quad (47)$$

ونحن نعلم بأن قيمة الزاوية  $\alpha_u$  تعادل تقريباً الجداء

$$\alpha = \sigma \cos \theta_1$$

في النتيجة  $\lambda \leq \frac{4}{3} \alpha_u$  وهو الشرط الأساسي لأجل الدخول إلى قيمة موجبة للسرعة ( $V_d$ )

## النتائج والمناقشة:

### حساب عزم إقلاع الطاحونة:

لأجل حساب عزم الإقلاع، اعتمدنا على مبدأ المعادلات التفاضلية الجزئية، ثم أجرينا التكاملات بحسب حدود التكامل. ونظراً لأهمية الحساب ودقته، اعتبرنا بأن السطح الجرياني المؤثر قيمته  $d(A_m)$  وهو عبارة عن مقطع في أنبوب من التيارات القادمة بسرعة  $V_m$  وبزاوية مقدارها  $\phi^\circ$  وهي زاوية تمثل انحراف خط التيار الهوائي القادم ومتعلقة  $(\theta, \theta_1)$  لذلك نحد السطح الجزئية عند المدخل ( $u$ ) وعند المخرج ( $d$ ) وكذلك عند المقطع ( $m$ ).

حيث :

$$( \text{عند المدخل} ) \quad d(A_u) = R \cos \theta \, d\theta = R \cos \theta \frac{d\theta}{d\phi} \cdot d\phi \quad (48)$$

$$( \text{عند المخرج} ) \quad d(A_d) = R \cos \theta_1 \, d\theta_1 = R \cos \theta_1 \frac{d\theta_1}{d\phi} \cdot d\phi \quad (49)$$

$$d(A_m) = R \cos \phi \, d\phi \quad (50)$$

بما أن  $\phi^\circ$  متعلقة بـ  $\theta^\circ$  و  $\theta_1^\circ$  يمكننا من الحسابات الهندسية أن نكتب:

$$\theta_1^\circ = 2 \phi^\circ - \theta^\circ$$

$$\frac{\theta_1^\circ + \theta^\circ}{2} = \phi^\circ$$

(عند المدخل) ميل  $V_m$  على المماس هو  $\psi^\circ = \phi^\circ - \theta^\circ$

(عند المخرج) ميل  $V_m$  على المماس هو  $\psi^\circ = \theta_1^\circ - \phi^\circ$

والميلان بحسب الفرضية الأولى متساويان هذا ما أكدته الصور الأيزرية التي سحبت خلال التجارب العملية في

مخبر ميكانيك السوائل (E.N.S.A.M).

$$\begin{aligned} \phi^\circ - \theta^\circ = \theta_1^\circ - \phi^\circ &\Rightarrow \theta^\circ + \theta_1^\circ = 2 \phi^\circ \\ \theta_1^\circ = 2 \phi^\circ - \theta^\circ &\end{aligned} \quad (51)$$

وبهذه الحالة يمكننا حساب السطح  $d(A_m)$

$$d(A_m) = R \cos q \cdot d\phi$$

وبكتابة معادلة الاستمرار عند المدخل:

$$V_{(u)} d(A_u) = V_d d(A_d) = V_m d(A_m)$$

وبما أن:

$$\phi = \frac{\theta + \theta_1}{2}$$

يمكننا أن نفترض بان:

$$d(A_m) = \frac{d(A_u) + d(A_d)}{2} \quad (52)$$

لأن تحولات السطوح تتناسب مع تغير  $\theta_1$  و  $\theta$  وتعتبر هذه الفرضية مقبولة فقط لأن الزوايا  $\theta$  و  $\theta_1$  و  $\phi$  صغيرة جداً و  $\cos\theta$  و  $\cos\theta_1$  و  $\cos\phi$  تقريباً يساوي الواحد. لذلك نكتب.

$$d(A_u) = R \cos \theta d\theta$$

بحيث:

$$d(A_d) = R \cos \theta_1 d\theta_1$$

$$d(A_m) = R \cos \phi d\phi = \frac{R \cos \theta_1 d\theta_1 + R \cos \theta d\theta}{2}$$

$$d\phi = \frac{d\theta_1 + d\theta}{2}$$

وهذا ما حصلنا عليه في الفقرة السابقة عن  $\phi = \frac{\theta + \theta_1}{2}$

من المعادلة (51) و (52)

$$\frac{d(A_u)}{d(A_m)} = \frac{V_m}{V_u} = \frac{2V_d}{V_u + V_d} \quad \text{نكتب:} \quad (53)$$

$$\frac{d(A_d)}{d(A_m)} = \frac{V_m}{V_d} = \frac{2V_u}{V_u + V_d} \quad (54)$$

من المعادلة (48) و (50) نحصل على:

$$\frac{d(A_u)}{d A_m} = \frac{\cos \theta d\theta}{\cos \phi d\phi} \quad (55)$$

ومن المعادلة (53) نحصل:

$$\frac{d\theta}{d\phi} = \frac{2 \cos \phi}{\cos \theta} \times \frac{V_d (2\phi - \theta)}{V_u (\theta) + V_d (2\phi - \theta)} \quad (56)$$

وهي عبارة عن معادلة تفاضلية يمكن حلها بعد معرفة كل من  $(V_u)$  و  $(V_d)$  انطلاقاً من المعادلة (48) . 51 .

نحصل:

$$\frac{d(A_u)}{\cos \theta} = \frac{R d\theta}{d\phi} d\phi = R \frac{\cos \phi}{\cos \theta} \cdot \frac{d(A_u)}{d(A_m)} d\phi = \frac{\cos \phi}{\cos \theta} \cdot \frac{2RV_d}{V_u + V_d} d\phi \quad (57)$$

بعد مكاملة المعادلة التفاضلية (57) نجد بأن الخطأ في حساب العزم يمكن تقليله عندما نفترض أن  $\theta^\circ$  و  $\phi^\circ$  لهما نفس الطبيعة والاتجاه، هذا ما تحدثنا عنه في بداية هذه الفقرة، بحيث جعلنا  $\cos \theta_1 = \cos \theta = \cos \phi$  حيث تصبح المعادلة (52) على النحو التالي لأجل المقطع الأمامي ( $u$ ):

$$\frac{dA_u}{Cs\theta} = \frac{2RV_d}{V_u + V_d} d\theta \quad (58)$$

وبنفس التحليل فلأجل المقطع الخلفي ( $d$ ):

$$\frac{d(A_d)}{Cs\theta_1} = \frac{2RV_u}{V_u + V_d} d\theta_1 \quad (59)$$

بإدخال المعادلة (22) التي تحوي على  $d(T_u)$  مع أخذنا بعين الاعتبار بأن  $C = \cos \theta d(A_u)$  حيث  $C$  وتر الشفرة، إذن من الممكن جداً حساب العزم المطبق عند الجهة الأمامية ومن أجل واحدة الارتفاع هي:

$$dC_u = R d(T_u) = \frac{1}{2} \rho \frac{\sigma}{2\pi} R \frac{dA_u}{\cos \theta} C_{T_u} W_u^2 \quad (60)$$

بإدخال الصلابة ( $\sigma$ ) في المعادلة (60) و بالمكاملة على كامل الوجه الأمامي، نحصل على العزم  $C_u$ :

$$C_u = \int_{-\frac{\pi}{2}}^{+\frac{\pi}{2}} dC_u d\theta = \rho \frac{\sigma}{2\pi} R^2 \int_{-\frac{\pi}{2}}^{+\frac{\pi}{2}} \left( \frac{V_d}{V_u + V_d} \right) C_{T_u} W_u^2 d\theta \quad (61)$$

لأجل الجهة الخلفية نحصل على معادلة مشابهة وبنفس الطريقة نحصل على العزم  $C_d$ :

$$C_d = \int_{-\frac{\pi}{2}}^{+\frac{\pi}{2}} dC_d d\theta_1 = \rho \frac{\sigma}{2\pi} R^2 \int_{-\frac{\pi}{2}}^{+\frac{\pi}{2}} \frac{V_u}{V_u + V_d} C_{T_d} W_d^2 d\theta_1 \quad (62)$$

فالعزم الكلي  $C$  مساوٍ إلى المجموع الجبري للعزمين  $C_u, C_d$  السابقين مضروب بالارتفاع  $H$  لأنهما محسوبان لأجل واحدة الارتفاع:

$$C = (C_u + C_d) H \quad (63)$$

ومن جهة أخرى العزم الكلي  $C$  مساوياً

$$C = \rho R^2 H V_\infty^2 \cdot C_Q \quad (64)$$

حيث:  $C_Q$  هو معامل العزم المطبق على المحور.

$$C_Q = \frac{C}{\rho R^2 H V_\infty^2}$$

بمساواة المعادلتين (63) و (64) وتعويض قيم  $C_u$  و  $C_d$  من المعادلتين (61) و (62) نحصل على قيمة معامل العزم المطبق.

$$C_Q = \frac{\sigma}{2\pi} \left\{ \int_{-\frac{\pi}{2}}^{+\frac{\pi}{2}} \frac{\frac{V_d}{V_\infty}}{\frac{V_u}{V_\infty} + \frac{V_d}{V_\infty}} C_{T_u} \left( \frac{W_u}{V_\infty} \right)^2 d\theta + \int_{-\frac{\pi}{2}}^{+\frac{\pi}{2}} \frac{\frac{V_u}{V_\infty}}{\frac{V_u}{V_\infty} + \frac{V_d}{V_\infty}} C_{T_d} \left( \frac{W_d}{V_\infty} \right)^2 d\theta_1 \right\} \quad (65)$$

\* حساب القوة المطبقة على محور الدوران:

بعد حساب العزم المطبق على محور الدوران أصبح من السهل حساب القوة المطبقة ويمكننا حسابها أيضاً من

$$P = C \cdot w \text{ الجداء}$$

حيث  $w$ : سرعة دوران المروحة.

من جهة أخرى فإن  $P$  تحسب:

$$P = \frac{1}{2} \rho V_{\infty}^2 \cdot S \cdot C_p$$

$$C_p = \frac{P}{\frac{1}{2} \rho V_{\infty}^2 \cdot S}$$

حيث السطح  $S = 2RH$  وهو عبارة عن سطح أسطوانة نصف قطرها  $R$  وارتفاع  $H$  ارتفاع الشفرات الشاقولية،

بالتعويض في (65) نحصل على:

$$C_p = \lambda C_Q \quad (66)$$

حيث  $\lambda = \frac{wR}{V_{\infty}}$  وهي عامل السرعة في المعادلة.

للحصول على المعادلة (66) تم تعويض  $P$  بما يساوي  $P = C \cdot w$  وكذلك تعويض  $C_Q$  بما يساوي بحسب

المعادلة (63) وهي المعادلة الأهم في علم ديناميك الرياح.

الشكل (8) يظهر نتائج التكامل العددي ( $C_p$ ) حيث تحوي على المتحولات التالية:

$$C_p = f(\lambda, C_D, \sigma)$$

وبالمقارنة مع ما تم حسابه بطريقة *Betz*: قيمة  $C_p = 2 \left( \frac{2}{3} \right)^2 = 0.597 C_p$

حيث اعتمد *Betz* في حساباته على المائع المستخدم بأنه مثالي [6], [5] وهذا ما ساعدنا على إجراء مقارنة

مع نتائجه، حيث اعتبرنا أن الحالة المستخدمة لدينا مائع مثالي وبالتالي  $C_D = 0$  بحيث تصبح معادلة  $C_p = f(\lambda$

$a)$  وهذا الاعتبار استخدم في جميع حساباتنا العددية ومخططاتنا  $C_D = 0$  باستخدام كل من المعادلات (39) و

(46) و (64) نحصل على:

$$C_{p_m}(\lambda, \sigma) = C_p(\lambda, 0, \sigma) = 2K \int_{-\frac{\pi}{2}}^{+\frac{\pi}{2}} \left(1 - \frac{K}{2} C_s \theta\right) \left(1 - 3\frac{K}{2} C_s \theta\right) C_s \theta^2 d\theta \quad (67)$$

ونسنتج من هذه المعادلة بأن  $C_{p_m}(\lambda, \sigma)$  يتعلق مباشرة بالجهة  $K = \frac{\sigma \lambda}{2}$  وبالحسابات التحليلية والتكامل

نحصل أخيراً:

$$C_m(\lambda, \sigma) = \frac{9\pi}{16} K^3 - \frac{16}{3} K^2 + \pi K \quad (68)$$

بالتدقيق في المنحنيات الظاهرة في الشكل (8) نجد بأن عامل الجر له تأثير على فقدان أو تقليل القوة.

### Potentielle

مقارنة النتائج مع الدراسة النظرية (الدوامات):

الموديل الذي تم التوصل إليه تمت مقارنته مع دراسة نظرية ثانية اعتمدت على دراسة الدوامات المتشكلة حول كل ريشة، كما هو وارد في [2] والشكل (9) يوضح المقارنة بين النتائج العملية والنظرية، حيث نلاحظ تطابقاً شديداً بين النتائج، خاصة عند القيمة التي تمثل الحالة المثلى *optimal*.

#### إنجاز نموذج مصغر للطاحونة داريوس:

النموذج المصغر الظاهر في الشكل (10) لطاحونة داريوس مؤلف من شفرتين مستقيمتين ومقطع الشفرة أو (الريشة) من نوع *NACA 0012* ومواصفاته كما يلي:

$$R \text{ نصف قطر داريوس متغيران } 1.4 \text{ m} \leq R \leq 1.6 \text{ m}$$

$$H \text{ ارتفاع الشفرات } H = 1 \text{ m}$$

$$C \text{ وتر الشفرة أو الريشة } C = 158 \text{ mm}$$

$$\text{ومن هذه الأبعاد حصلنا على القيم } \lambda = 3.2, C_P = 0.44 \text{ و } C_D = 0.02$$

$$\text{ومن أجل سرعة رياح } V_\infty = 7 \text{ m/sec.}$$

بعد معرفة جميع القيم السابقة عن النموذج تم قياس القوة ( $P$ ) بواسطة جهاز قياس خاص حصلنا على  $P = 300 \text{ W}$  من أجل سرعة دوران  $W = 140 \text{ t/min}$  [علمياً بأن الشفرات أو الريش مصنوعة من معادن غير قابلة للصدأ (*aciux onoxy dalele*) بسماكة مقدارها  $0.5 \text{ mm}$ ].

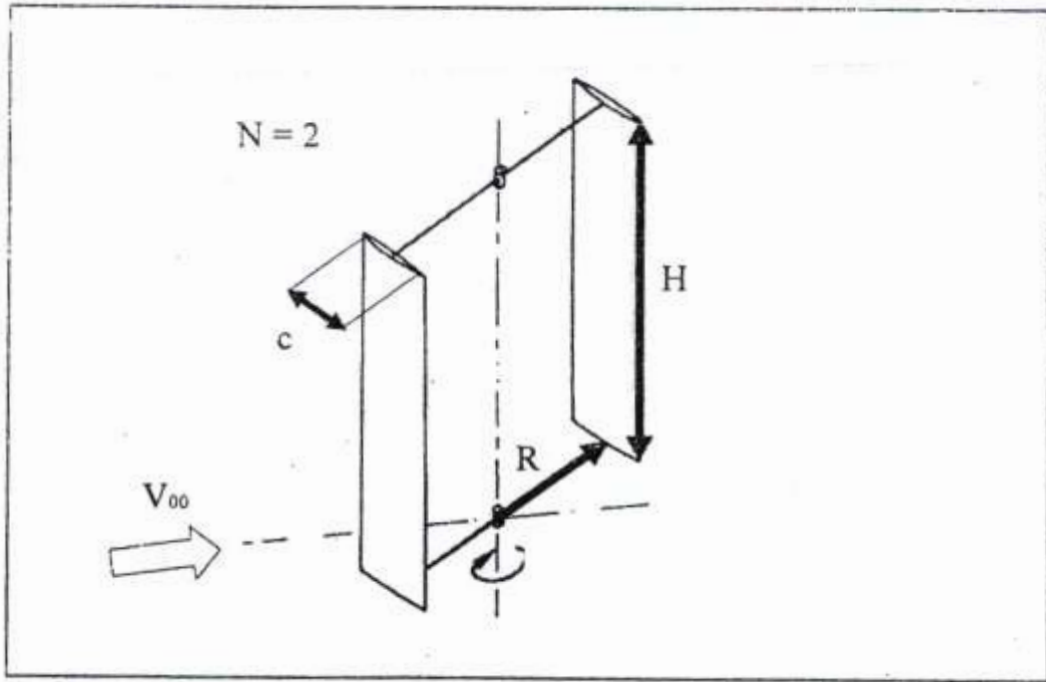
#### عزم الإقلاع:

من المعلوم عن هذا النوع من المراوح ذات البروفيل (*NACA 0012*) بأنها تحتاج إلى عزم إقلاع ضعيف لأجل الإقلاع والدوران وهذا العزم المعطى يدخل في حساب عامل الرفع وعامل الجر. السيد *DAVID* [4] اعتمد في دراسته على مبدأ العناصر المحددة لحل وحساب قوة الجر وقوة الرفع وعزم الإقلاع وكانت زاوية السقوط على الوجه الأمامي  $\theta = 18^\circ$  (\*) حيث حصل على نتائج مشابهة تماماً للنتائج التي حصلنا عليها، خاصة حساب عزم الإقلاع حيث تمت مقارنته في مختلف الوضعيات للريش بالنسبة لاتجاه الرياح.

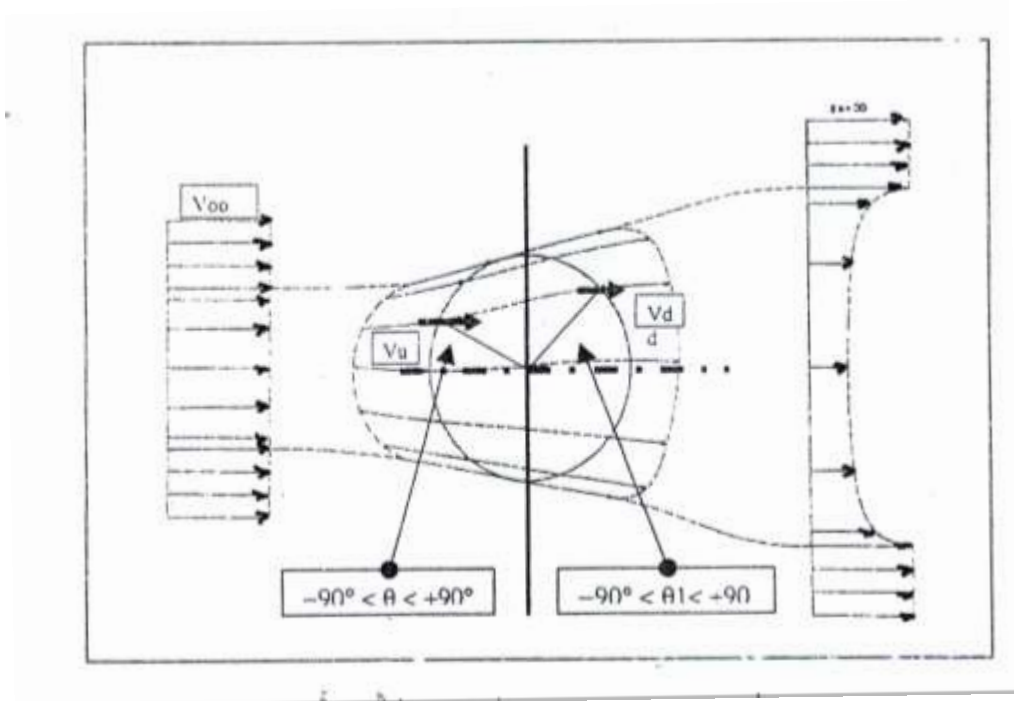
\* - زاوية السقوط  $\theta = 18^\circ$  وهي الزاوية التي اعتمد عليها *DAVID* [4] في دراسته بهذه الطريقة نتمكن من إجراء المقارنة بين نتائجه والنتائج التي توصلنا إليها.

## الاستنتاجات والتوصيات:

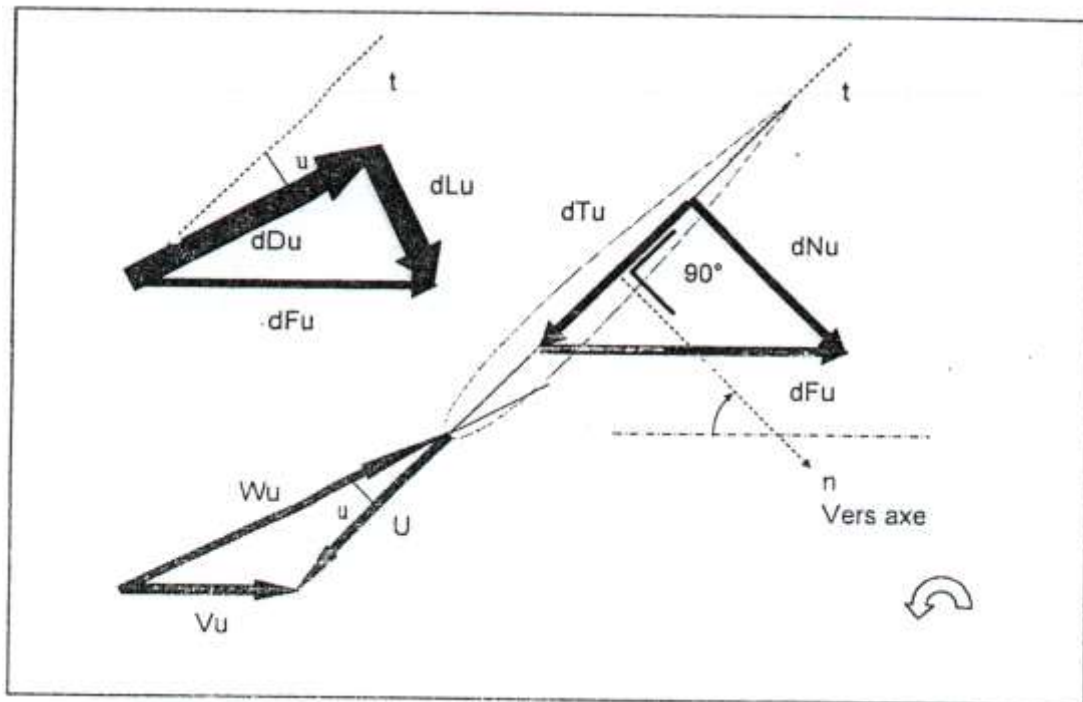
- لقد توصلنا في نهاية البحث على ما يلي:
1. الطريقة المستخدمة في حساباتنا يمكن اعتبارها طريقة جديدة وسهلة الاستخدام والتطبيق.
  2. النموذج المصغر المستخدم أعطانا نتائج تمكّننا من خلالها تحليل ودراسة مشكلة الإقلاع التي تواجهه مختلف الحالات المقدمة والمقترحة لهذا النوع من المراوح الهوائية.
  - 3- يمكن استخدام هذه الطريقة على المراوح الهوائية الشاقولية ذات الشفرات العمودية المتعددة (أكثر من اثنين) خاصة المستخدمة في المعامل والمنازل المنعزلة.
  - 4- يمكن تطبيق هذا الموديل لحساب أي مروحة هوائية شاقولية وطاقة تحديد المردود والوصول إلى مردودية أفضل مع تقليل عزم الإقلاع الأولي اللازم.



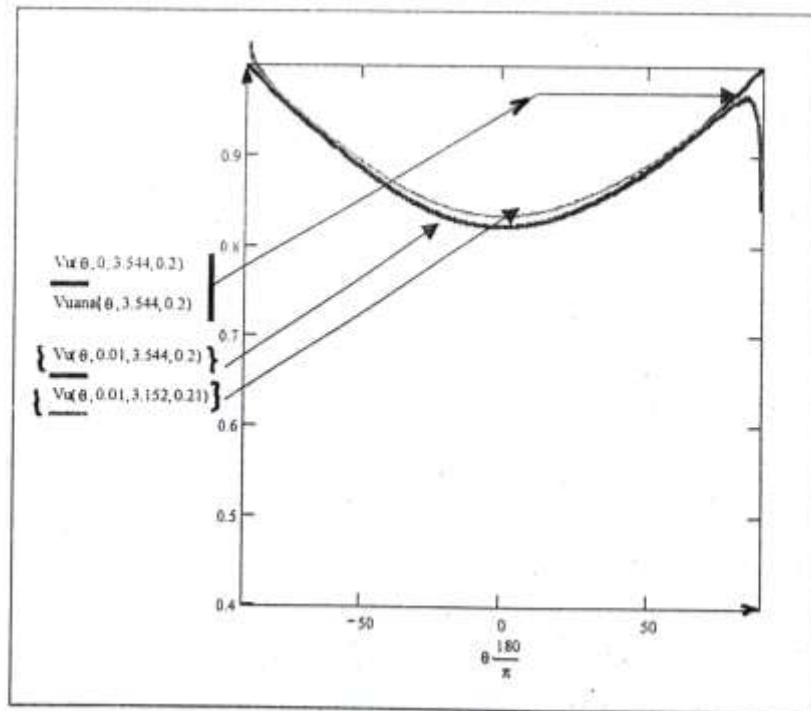
الشكل (1) : طاحونة هوائية نوع (داريوس) شفرتان شاقوليتان



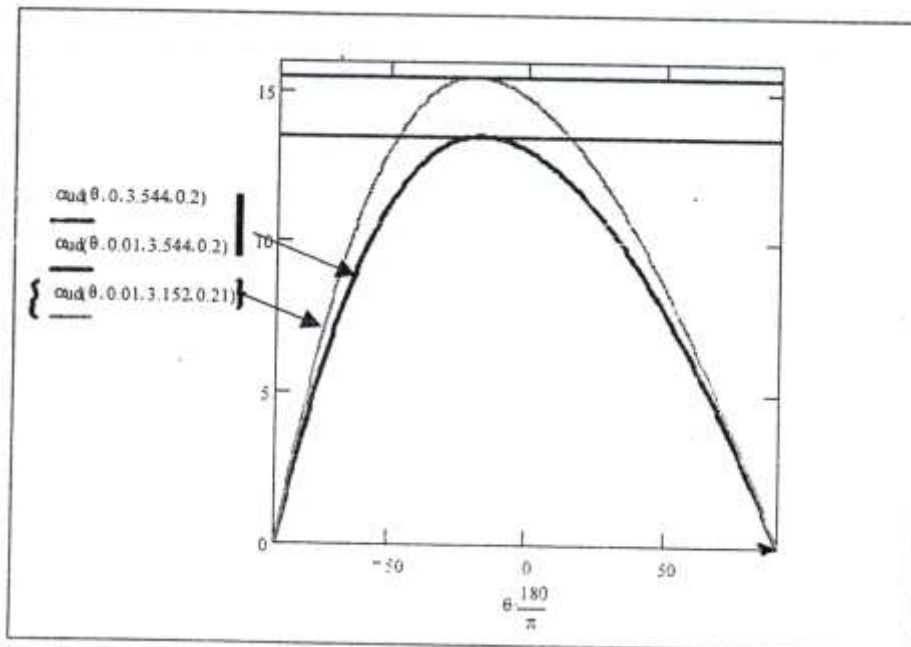
الشكل (2) مقطع طولى في خطوط الجريان



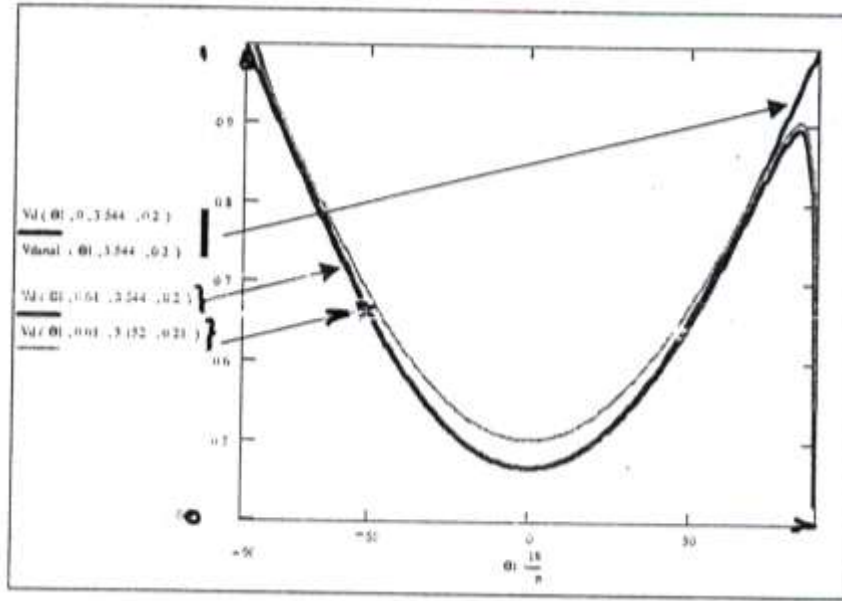
الشكل (3) مثلثات السرعة عند النقطة  $(\mu)$



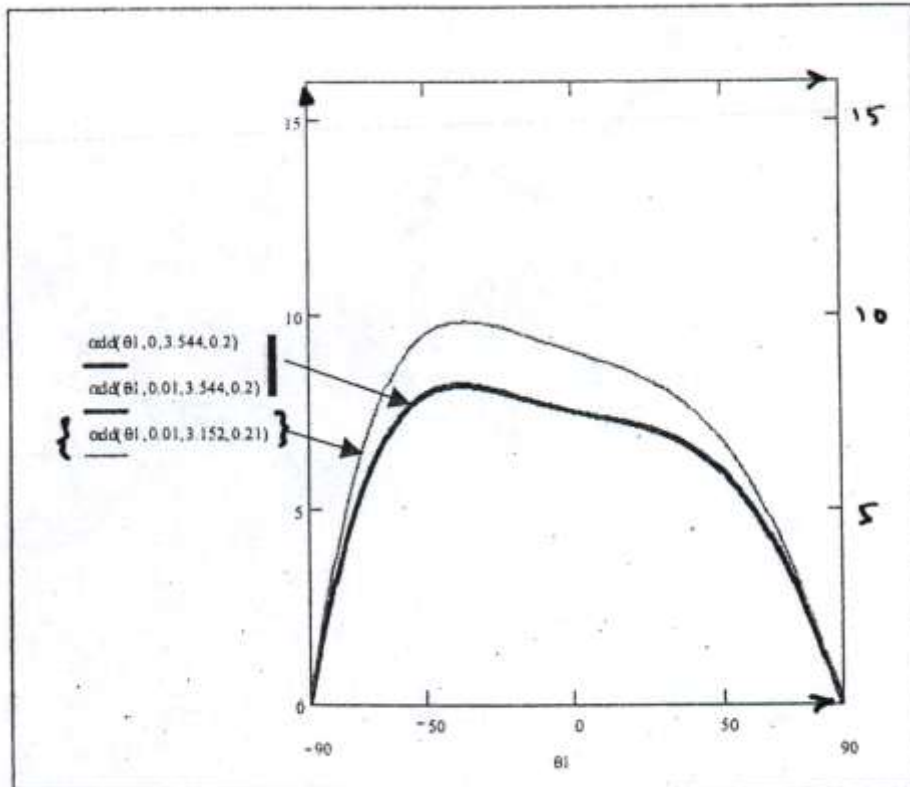
الشكل (4) العلاقة بين  $\theta$  و  $\frac{V_u}{V_\infty}$



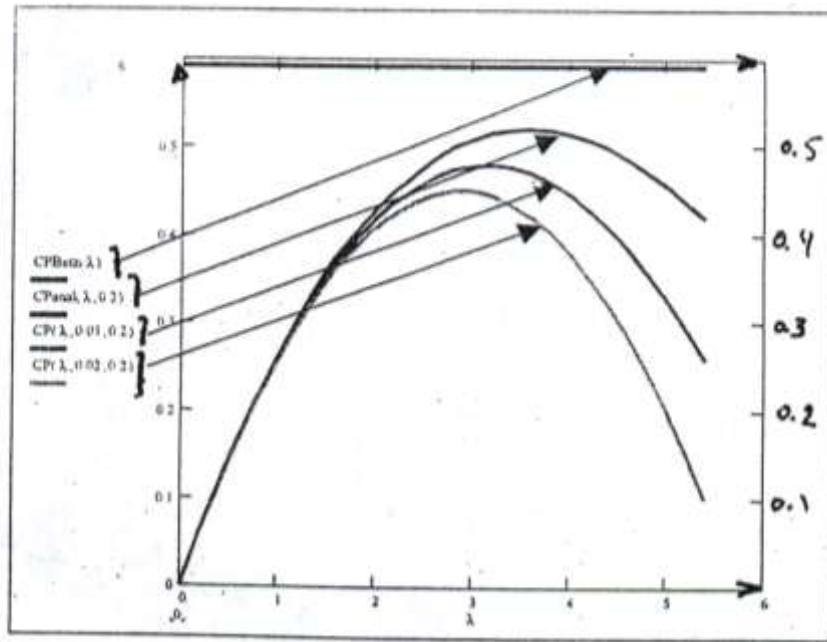
الشكل (5) العلاقة بين  $\theta$  وتغيرات  $\alpha_{ud}$



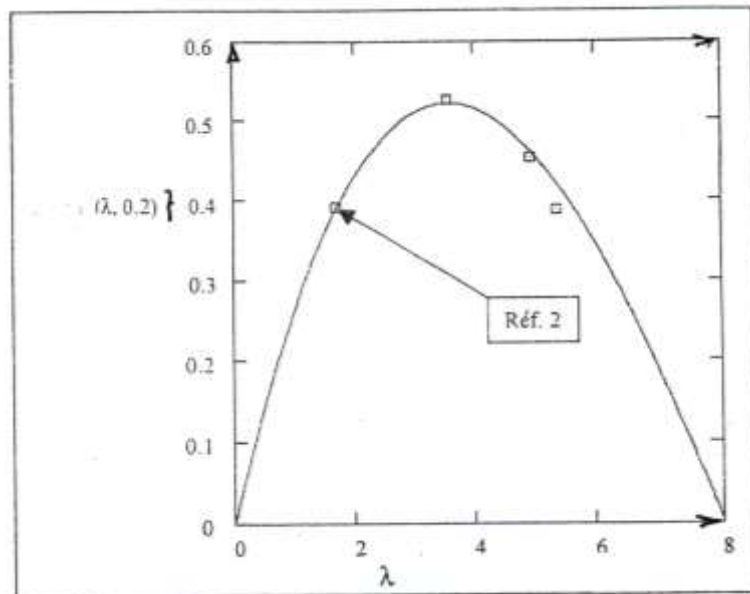
الشكل (6) العلاقة بين  $\theta$  و السرعة  $V_d$



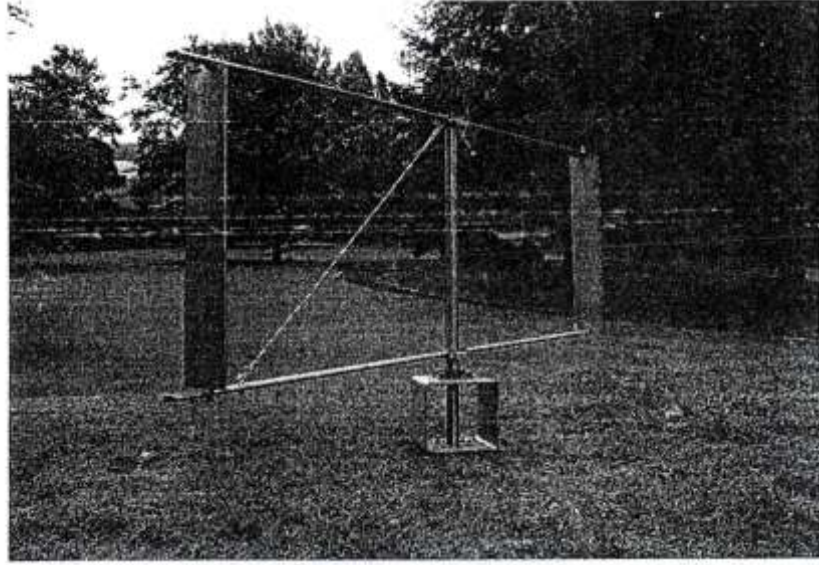
الشكل (7) العلاقة بين  $V$  و  $C_d$



الشكل (8) العلاقة بين القوة وعامل السحب



الشكل (9) المقارنة بين النتائج العلمية والنظرية



الشكل (10) نموذج من المراوح الشاقولية

### المراجع:

- 1- DAVIED, J. *étude aérodynamique, théorique et expérimentale d'une éolienne du type darrieus d'une vertical* T. F. E – France – 2002- 2003 , traduction , 2-3
- 2- HOLME. O, *contrilution to the aerodynamic theory of the vertical – anis (wind - Turfine)-* England, international symposium, on wind energy systems, COMMBRIDGE – 1976,2-3
- 3- GENON. G, *Etude et réolisation d'un prototype d'éolienne de type Darrieus.* T. F. E- FRANCE- 2003 ,11-13
- 4- PATRICIA. B, DANIEL. M, *l'éolienne: technologie et développement – Ropport de projet,* L. M. F – ENSAM- PARIS- FRANCE – 2009,16-17
- 5- PATRICK. KUSZLA, *simulotion numérique du sillage d'une éolienne Par la méthode free wake* E.N.S.A.M. PARIS. F. 2007 ,13-14